GOSAT (いぶき) と GCOM-C1 (しきさい) を用いた CO2 濃度と土地被覆の関係

1230077 佐藤 泰斗 高知工科大学 システム工学群 建築・都市デザイン専攻

近年、地球温暖化などの気候変動が問題となっており、主に二酸化炭素(CO2)や他の温室効果ガスの増加に関連している。本研究では、CO2の観測を可能とする GOSAT(いぶき)と正規化植生指数 (NDVI)の観測を可能とする GCOM-C1(しきさい)を用いて、CO2と NDVIとを比較した。その結果、冬の方が NDVIは低く CO2は高くなり、大気中の CO2濃度が低下する季節的関係が見られた。しかし、CO2と土地被覆との関係を明らかにすることはできなかった。

Key Words : GOSAT(いぶき), GCOM-C1(しきさい)

1. はじめに

近年,地球温暖化などの気候変動が問題となっており, 主に二酸化炭素 (CO2) や他の温室効果ガスの増加に関 連している.1957 年からの国際地球観測年を契機とし て南極点とハワイ・マウナロアにおいて大気中の CO2 濃度の正規観測が開始された 1).大気中の CO2 濃度は 世界各地で航空機観測や地上観測などの観測がされて きたが,観測地点が限られており,地球規模での実態把 握には、より多地点での観測が求められてきた.そのた め、地球全体の温室効果ガスの濃度分布を同一の手段で 定期的に観測できる GOSAT (いぶき) が 2009 年 1 月 23日にJAXAにより打ち上げられた.地球温暖化や気候 変動を理解するには GOSAT の CO2 観測だけでなく. 植生による吸収量や土地被覆との関係も明らかにする 必要がある.JAXA は,植生観測ができる気候変動観測衛 星 GCOM-C1(しきさい)を 2017 年 12 月 23 日に打ち 上げた.本研究は,観測幅が広く定期的に観測を行って いる GOSAT から得られる CO2 データが都市部や森林 部などとどのように変化しているか解析した.

2. 対象地域・使用データ

2.1 GOSAT (いぶき)

GOSAT は分解能 10.5km で観測を行っており、観測方式は特定点観測(サングリント観測)である (表 1 左). センサは温室効果ガス観測センサ TANSO-FTS と雲・エアロゾルセンサ TANSO-CAI が搭載されている CO2 濃度

	GOSAT(いぶき)	GCOM(しきさい)
分解能	10.5km	250m
観測方式	特定点観測(サングリント観 測)	電子走査方式(プッシュブ ルーム方式)
センサ	温室効果ガスセンサ "TANSO-FTS" (0.758μm~14.3μm) 7 チャンネル	可視・近赤外放射計部 (SGLI-VNR) 赤外走査放射計部 (SGLI-IRS)
	雲・エアロゾルセンサ "TANSO-CAI" (0.370μm~1.65μm) 4 チャンネル	熱赤外域波長(380nm~ 12μm) 19ch の マルチチャンネル
観測頻度	約3日1回	約2日に1回
観測幅	約160km	1000km

表 1. GOSAT と GCOM-C1 の概要

は、TANSO-FTS の短波長赤外線データ SWIR(バンド1から3)のスペクトルを利用し、二酸化炭素のカラム量及び、それぞれのカラム量を乾燥空気の全カラム量で除したカラム平均濃度を算出している. 地表面や大気での反射赤外線を観測しているため、雲があるところでの観測データはない. 観測頻度は約3日に1回で観測

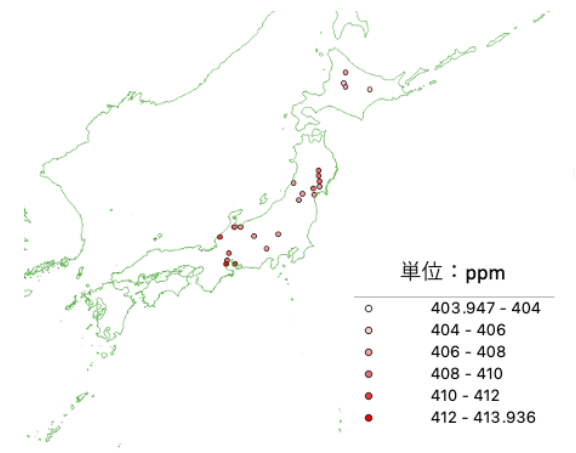


図 1 GOSAT のポイントデータ (2018 年 6 月 2 日~6 月 10 日)

幅は約160kmで,分解能は10.5kmで経度にすると約0.1 度に相当する.今回の研究ではGOSATのレベル2プロダクトを使用する.レベル2プロダクトは1日ごとにデータが格納されている.図1は,8日間でまとめたCO2観測点とその濃度データである.

2.2 GCOM-C1 (しきさい)

GCOM-C1 は分解能 250m で観測を行っており, 観測方式 は電子走査方式(プッシュブルーム方式)である. セン サは可視・近赤外線放射計部と赤外走査放射計部で観 測を行っている(表1右).GCOM-C1 は植物の活性度や 生育量,状態を推定するための最も代表的なバンド間 演算である正規化植生指標 (NDVI) が利用できる.NDVI 算出における GCOM-C1 の使用バンドは, VN7 と VN10 を 使用した. 今回はGCOM-C1のレベル2プロダクトを用い た.レベル2プロダクトは8日間統計量データであり、 8日間の統計量を使うことで、一部の日における雲の 影響を軽減することができる. GCOM-C1 のレベル 2 プロ ダクトは,全球が対象となっている.日本の陸域は,タイ ル番号「V04H28,V04H29,V05H28,V05H29」に割合て られている.この4つのタイルを対象範囲とした.表1の 通り GCOM-C1 と GOSAT の分解能は異なっているた め GCOM-C の分解能を GOSAT の分解能に合わせる. 図2は分解能を 0.1 度メッシュ変換した NDVI であ る.NDVI は値が小さいほど植生が少ないことを表して いる.

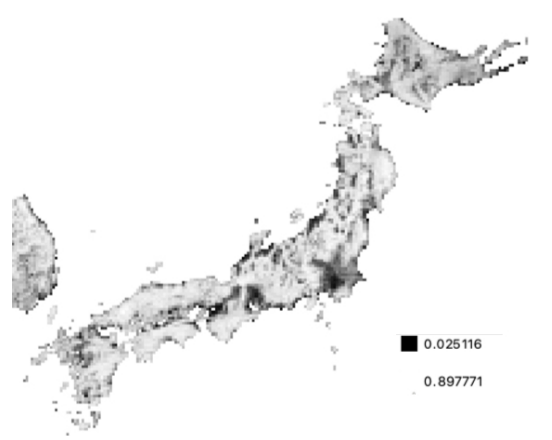


図 2 0.1 度メッシュ平均 NDVI 画像 (2018 年 6 月 2 日~6 月 10 日)

3. GOSATとGCOM-C1によるCO2とNDVIの比較

分解能を補正した NDVI に CO2 観測点を重ね合わせ 土地被覆との関係を散布図 (図 4,5) とともに解析し た. 図3は,夏(6,7,8月),図4は,冬(12,1,2月)としている. それぞれ縦軸はNDVI, 横軸はCO2 濃度を表している. 図を見比べると冬の方がNDVIは低くCO2が高くなっている. 冬季には, 落葉樹は葉を落とし, CO2の吸収が少なくなるため, 大気中のCO2 濃度が上昇する. 一方,夏季はその逆のため, 大気中のCO2 濃度が低下する. これらより,季節による影響がみられたものの,季節ごとでの相関がないことが判った. 観測点が都市部に集中しており, 観測点の偏りが影響していると考える.

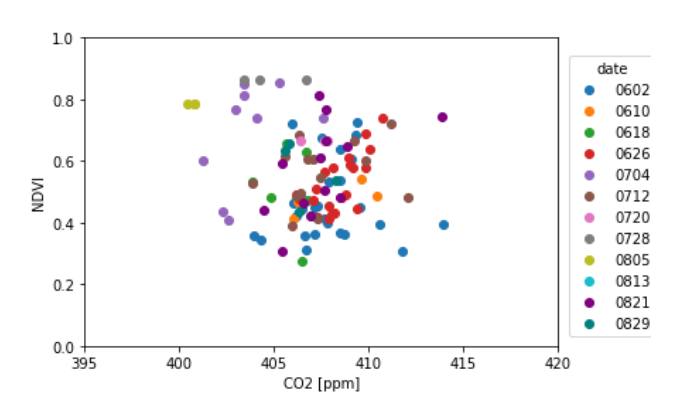


図3 夏(6,7,8月)のCO2と平均NDVIの散布図

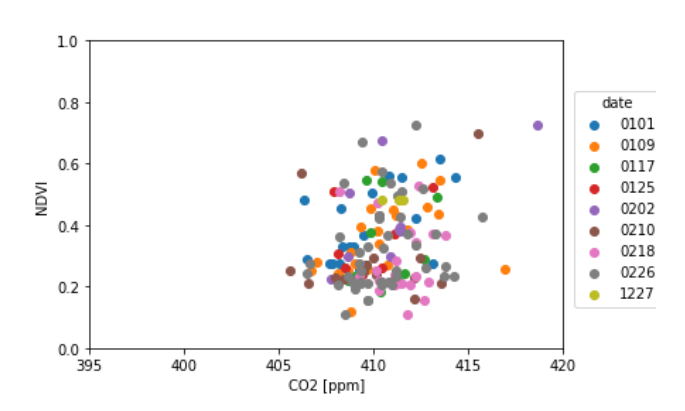


図 4 冬 (12, 1, 2 月) の CO2 と平均 NDVI の散布図

考察

GOSAT はポイント観測で、解像度が低く都市部での観測点に偏っている。また GOSAT の分解能は高く、一方GCOM-C は面的観測を行っている。今回両者の比較を行い、季節的関係は見られたが、CO2 と土地被覆との関係を明らかにすることはできなかった。今後、解析エリアを日本に限定せず大陸レベルで検討する必要がある。

参考文献

1) 環境展望台 環境技術解説